

Eingabe: Farbmétrisches Reflexions-System MRS18

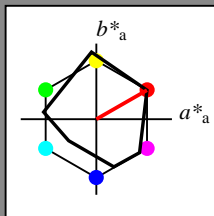
für Buntton $h^* = lab \cdot h = 30/360 = 0.083$

$lab \cdot tch$ und $lab \cdot nch$

D65: Buntton R

LCH*Ma: 50 77 30

rgb*Ma: 1.0 0.0 0.0



MRS18; adaptierte CIELAB-Daten					
	$L^* = L^*_a$	a^*_a	b^*_a	$C^*_{ab,a}$	$h^*_{ab,a}$
RMa	49.63	66.96	38.37	77.18	30
JMa	90.7	-6.36	88.75	88.98	94
GMa	52.11	-69.73	9.44	70.37	172
G50B _{Ma}	45.03	-36.57	-28.47	46.36	218
B _{Ma}	36.65	23.19	-63.05	67.18	290
B50R _{Ma}	34.94	57.17	-44.26	72.31	322
N _{Ma}	18.01	0.0	0.0	0.0	0
W _{Ma}	95.41	0.0	0.0	0.0	0
RCIE	39.92	58.66	26.98	64.56	25
JCIE	81.26	-2.17	67.76	67.79	92
GCIE	52.23	-42.26	11.75	43.87	164
BCIE	30.57	1.15	-46.84	46.87	271

Dreiecks-Helligkeit t^*

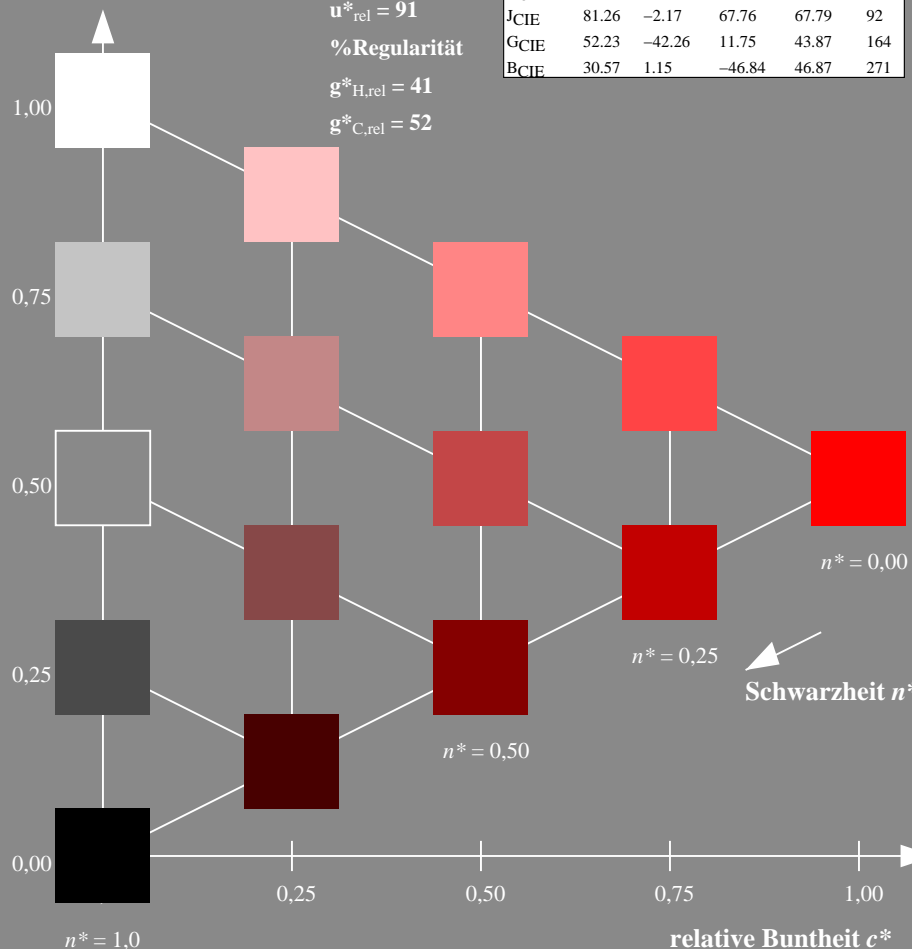
%Umfang

$u^*_{rel} = 91$

%Regularität

$g^*_{H,rel} = 41$

$g^*_{C,rel} = 52$



UG240-7, 5 stufige Reihen für konstanten CIELAB Buntton 30/360 = 0.083 (links)

Ausgabe: Farbmétrisches Reflexions-System MRS18

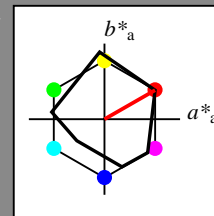
für Buntton $h^* = lab \cdot h = 30/360 = 0.083$

$LAB \cdot LCH$, $LAB \cdot NCH$

D65: Buntton R

LCH*Ma: 50 77 30

rgb*Ma: 1.0 0.0 0.0



MRS18; adaptierte CIELAB-Daten					
	$L^* = L^*_a$	a^*_a	b^*_a	$C^*_{ab,a}$	$h^*_{ab,a}$
RMa	49.63	66.96	38.37	77.18	30
JMa	90.7	-6.36	88.75	88.98	94
GMa	52.11	-69.73	9.44	70.37	172
G50B _{Ma}	45.03	-36.57	-28.47	46.36	218
B _{Ma}	36.65	23.19	-63.05	67.18	290
B50R _{Ma}	34.94	57.17	-44.26	72.31	322
N _{Ma}	18.01	0.0	0.0	0.0	0
W _{Ma}	95.41	0.0	0.0	0.0	0
RCIE	39.92	58.66	26.98	64.56	25
JCIE	81.26	-2.17	67.76	67.79	92
GCIE	52.23	-42.26	11.75	43.87	164
BCIE	30.57	1.15	-46.84	46.87	271

CIELAB-Helligkeit L^*

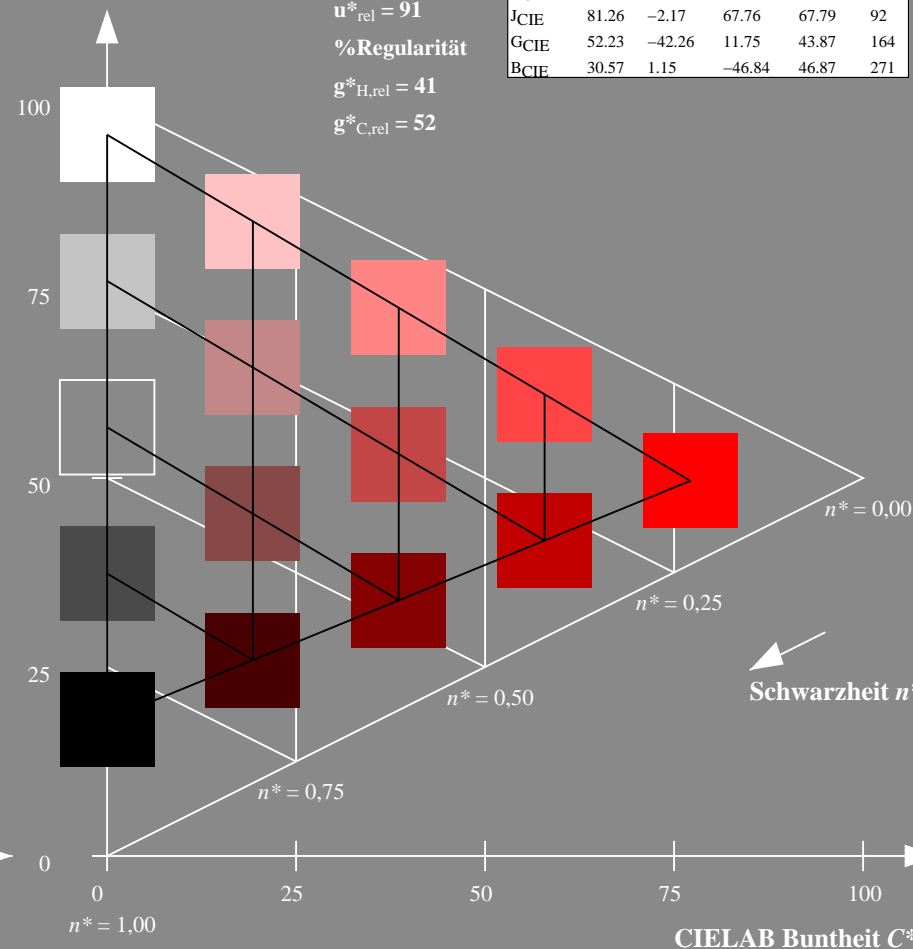
%Umfang

$u^*_{rel} = 91$

%Regularität

$g^*_{H,rel} = 41$

$g^*_{C,rel} = 52$



5 stufige Reihen für konstanten CIELAB Buntton 30/360 = 0.083 (rechts)

BAM-Prüfvorlage UG24; Farbmétrik-Systeme MRS18 & MRS18

D65: Koordinaten-Systeme von 5stufigen Farbreihen für 10 Bunttonen

Input: $cmY0^* setcmYcolor$

Output: $olv^* setrgbcolor / w^* setgray$

Eingabe: Farbmétrisches Reflexions-System MRS18

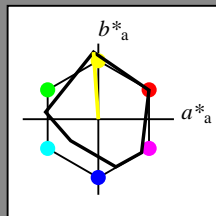
für Buntton $h^* = lab \cdot h = 94/360 = 0.261$

$lab \cdot tch$ und $lab \cdot nch$

D65: Buntton J

LCH*Ma: 91 89 94

rgb*Ma: 1.0 1.0 0.0



MRS18; adaptierte CIELAB-Daten					
	$L^* = L^*_a$	a^*_a	b^*_a	$C^*_{ab,a}$	$h^*_{ab,a}$
RMa	49.63	66.96	38.37	77.18	30
JMa	90.7	-6.36	88.75	88.98	94
GMa	52.11	-69.73	9.44	70.37	172
G50BMa	45.03	-36.57	-28.47	46.36	218
BMa	36.65	23.19	-63.05	67.18	290
B50RMa	34.94	57.17	-44.26	72.31	322
NMa	18.01	0.0	0.0	0.0	0
WMa	95.41	0.0	0.0	0.0	0
RCIE	39.92	58.66	26.98	64.56	25
JCIE	81.26	-2.17	67.76	67.79	92
GCIE	52.23	-42.26	11.75	43.87	164
BCIE	30.57	1.15	-46.84	46.87	271

Dreiecks-Helligkeit t^*

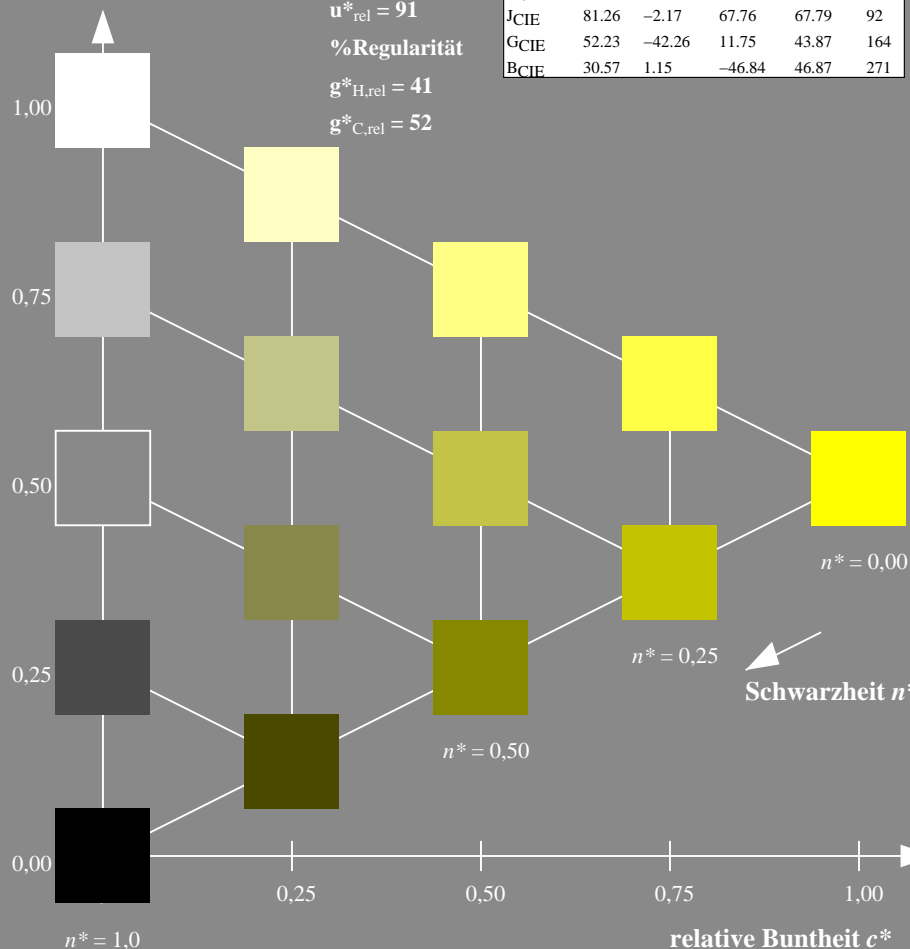
%Umfang

$u^*_{rel} = 91$

%Regularität

$g^*_{H,rel} = 41$

$g^*_{C,rel} = 52$



UG240-7, 5 stufige Reihen für konstanten CIELAB Buntton 94/360 = 0.261 (links)

Ausgabe: Farbmétrisches Reflexions-System MRS18

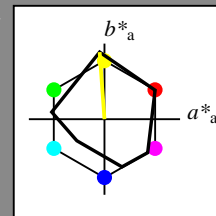
für Buntton $h^* = lab \cdot h = 94/360 = 0.261$

$LAB \cdot LCH$, $LAB \cdot NCH$

D65: Buntton J

LCH*Ma: 91 89 94

rgb*Ma: 1.0 1.0 0.0



MRS18; adaptierte CIELAB-Daten					
	$L^* = L^*_a$	a^*_a	b^*_a	$C^*_{ab,a}$	$h^*_{ab,a}$
RMa	49.63	66.96	38.37	77.18	30
JMa	90.7	-6.36	88.75	88.98	94
GMa	52.11	-69.73	9.44	70.37	172
G50BMa	45.03	-36.57	-28.47	46.36	218
BMa	36.65	23.19	-63.05	67.18	290
B50RMa	34.94	57.17	-44.26	72.31	322
NMa	18.01	0.0	0.0	0.0	0
WMa	95.41	0.0	0.0	0.0	0
RCIE	39.92	58.66	26.98	64.56	25
JCIE	81.26	-2.17	67.76	67.79	92
GCIE	52.23	-42.26	11.75	43.87	164
BCIE	30.57	1.15	-46.84	46.87	271

CIELAB-Helligkeit L^*

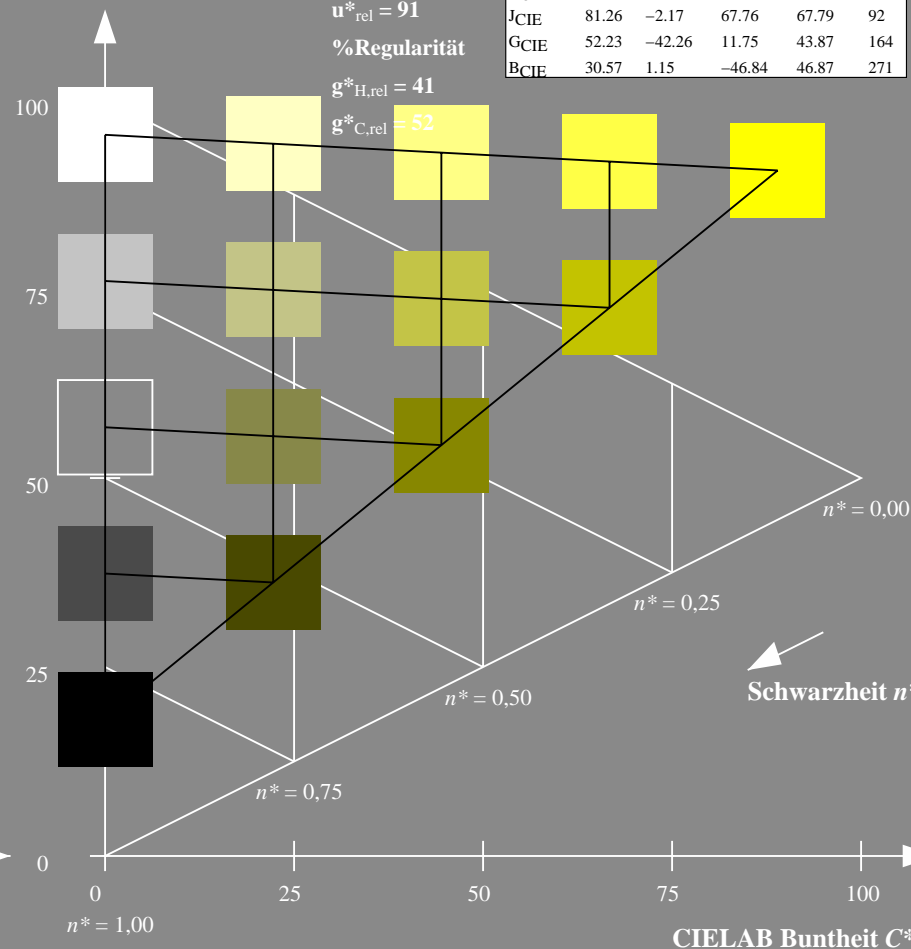
%Umfang

$u^*_{rel} = 91$

%Regularität

$g^*_{H,rel} = 41$

$g^*_{C,rel} = 52$



5 stufige Reihen für konstanten CIELAB Buntton 94/360 = 0.261 (rechts)

BAM-Prüfvorlage UG24; Farbmétrik-Systeme MRS18 & MRS18

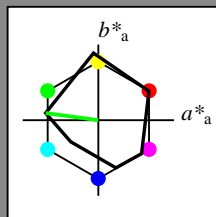
D65: Koordinaten-Systeme von 5stufigen Farbreihen für 10 Bunttoninput: $cmv0^* \cdot setcmkcolor$

input: $olv^* \cdot setrgbcolor / w^* \cdot setgray$

Eingabe: Farbmétrisches Reflexions-System MRS18

für Buntton $h^* = lab \cdot h = 172/360 = 0.479$
 $lab \cdot tch$ und $lab \cdot nch$

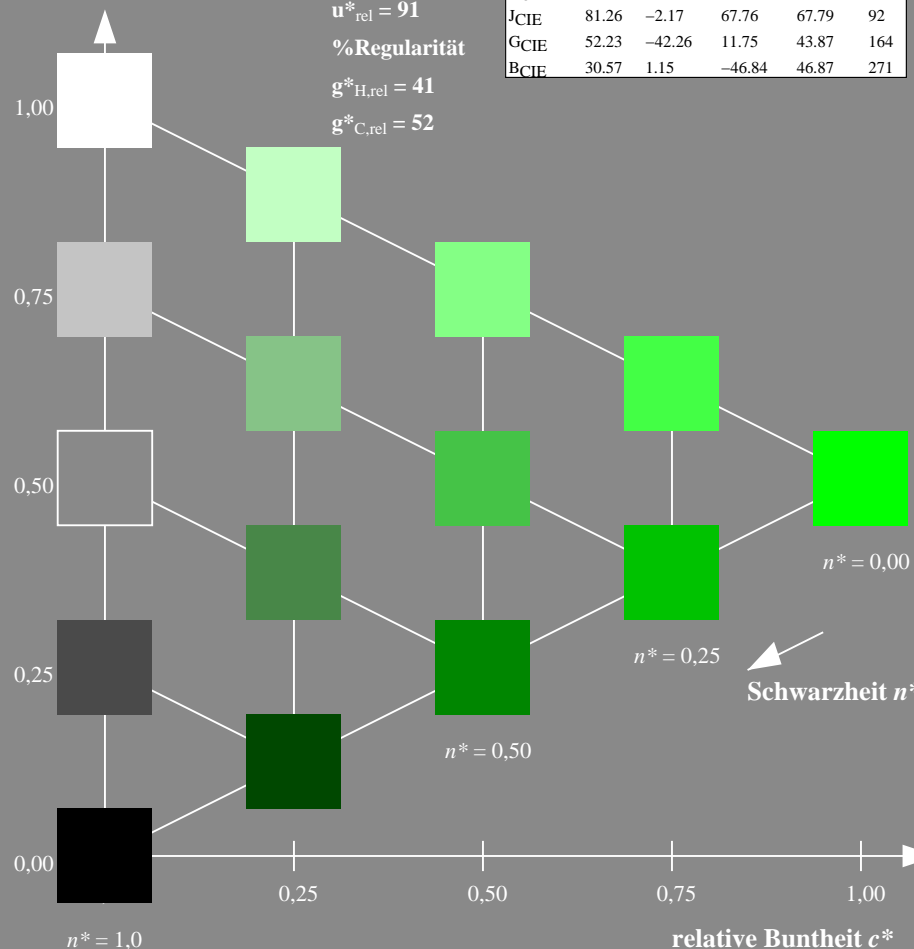
D65: Buntton G
LCH*Ma: 52 70 172
rgb*Ma: 0.0 1.0 0.0



MRS18; adaptierte CIELAB-Daten					
	$L^*=L^*_a$	a^*_a	b^*_a	$C^*_{ab,a}$	$h^*_{ab,a}$
RMa	49.63	66.96	38.37	77.18	30
JMa	90.7	-6.36	88.75	88.98	94
GMa	52.11	-69.73	9.44	70.37	172
G50BMa	45.03	-36.57	-28.47	46.36	218
BMa	36.65	23.19	-63.05	67.18	290
B50RMa	34.94	57.17	-44.26	72.31	322
NMa	18.01	0.0	0.0	0.0	0
WMa	95.41	0.0	0.0	0.0	0
RCIE	39.92	58.66	26.98	64.56	25
JCIE	81.26	-2.17	67.76	67.79	92
GCIE	52.23	-42.26	11.75	43.87	164
BCIE	30.57	1.15	-46.84	46.87	271

Dreiecks-Helligkeit t^*

%Umfang
 $u^*_{rel} = 91$
%Regularität
 $g^*_{H,rel} = 41$
 $g^*_{C,rel} = 52$

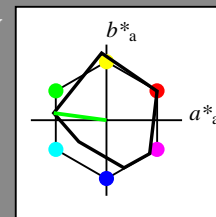


UG240-7, 5 stufige Reihen für konstanten CIELAB Buntton $172/360 = 0.479$ (links)

Ausgabe: Farbmétrisches Reflexions-System MRS18

für Buntton $h^* = lab \cdot h = 172/360 = 0.479$
 $LAB \cdot LCH$, $LAB \cdot NCH$

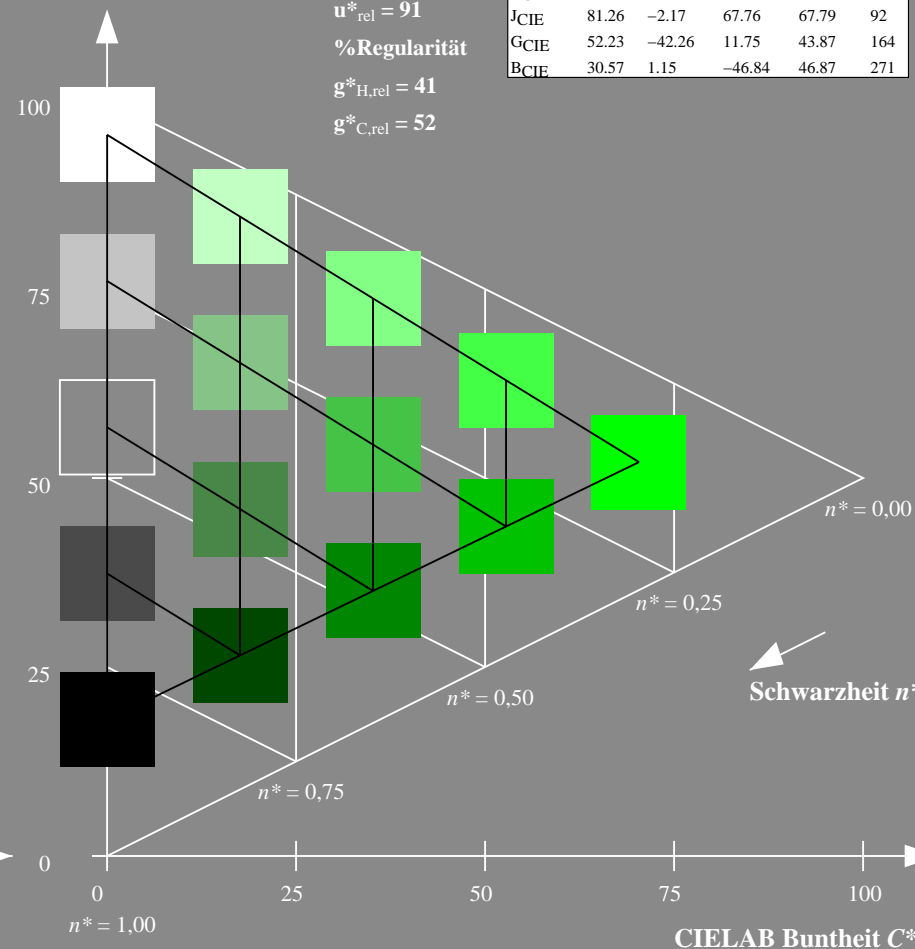
D65: Buntton G
LCH*Ma: 52 70 172
rgb*Ma: 0.0 1.0 0.0



MRS18; adaptierte CIELAB-Daten					
	$L^*=L^*_a$	a^*_a	b^*_a	$C^*_{ab,a}$	$h^*_{ab,a}$
RMa	49.63	66.96	38.37	77.18	30
JMa	90.7	-6.36	88.75	88.98	94
GMa	52.11	-69.73	9.44	70.37	172
G50BMa	45.03	-36.57	-28.47	46.36	218
BMa	36.65	23.19	-63.05	67.18	290
B50RMa	34.94	57.17	-44.26	72.31	322
NMa	18.01	0.0	0.0	0.0	0
WMa	95.41	0.0	0.0	0.0	0
RCIE	39.92	58.66	26.98	64.56	25
JCIE	81.26	-2.17	67.76	67.79	92
GCIE	52.23	-42.26	11.75	43.87	164
BCIE	30.57	1.15	-46.84	46.87	271

CIELAB-Helligkeit L^*

%Umfang
 $u^*_{rel} = 91$
%Regularität
 $g^*_{H,rel} = 41$
 $g^*_{C,rel} = 52$



5 stufige Reihen für konstanten CIELAB Buntton $172/360 = 0.479$ (rechts)

BAM-Prüfvorlage UG24; Farbmétrik-Systeme MRS18 & MRS18

D65: Koordinaten-Systeme von 5stufigen Farbreihen für 10 Bunttonen
Input: `cmv0* setcmkcolor`
Output: `olv* setrgbcolor / w* setgray`

Eingabe: Farbmimetrisches Reflexions-System MRS18

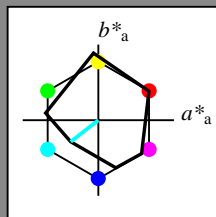
für Buntton $h^* = lab^*h = 218/360 = 0.605$

lab^*tch und lab^*nch

D65: Buntton G50B

LCH*Ma: 45 46 218

rgb*Ma: 0.0 1.0 1.0



MRS18; adaptierte CIELAB-Daten					
	$L^*=L^*_a$	a^*_a	b^*_a	$C^*_{ab,a}$	$h^*_{ab,a}$
RMa	49.63	66.96	38.37	77.18	30
JMa	90.7	-6.36	88.75	88.98	94
GMa	52.11	-69.73	9.44	70.37	172
G50B _{Ma}	45.03	-36.57	-28.47	46.36	218
B _{Ma}	36.65	23.19	-63.05	67.18	290
B50R _{Ma}	34.94	57.17	-44.26	72.31	322
N _{Ma}	18.01	0.0	0.0	0.0	0
W _{Ma}	95.41	0.0	0.0	0.0	0
RCIE	39.92	58.66	26.98	64.56	25
JCIE	81.26	-2.17	67.76	67.79	92
GCIE	52.23	-42.26	11.75	43.87	164
BCIE	30.57	1.15	-46.84	46.87	271

Dreiecks-Helligkeit t^*

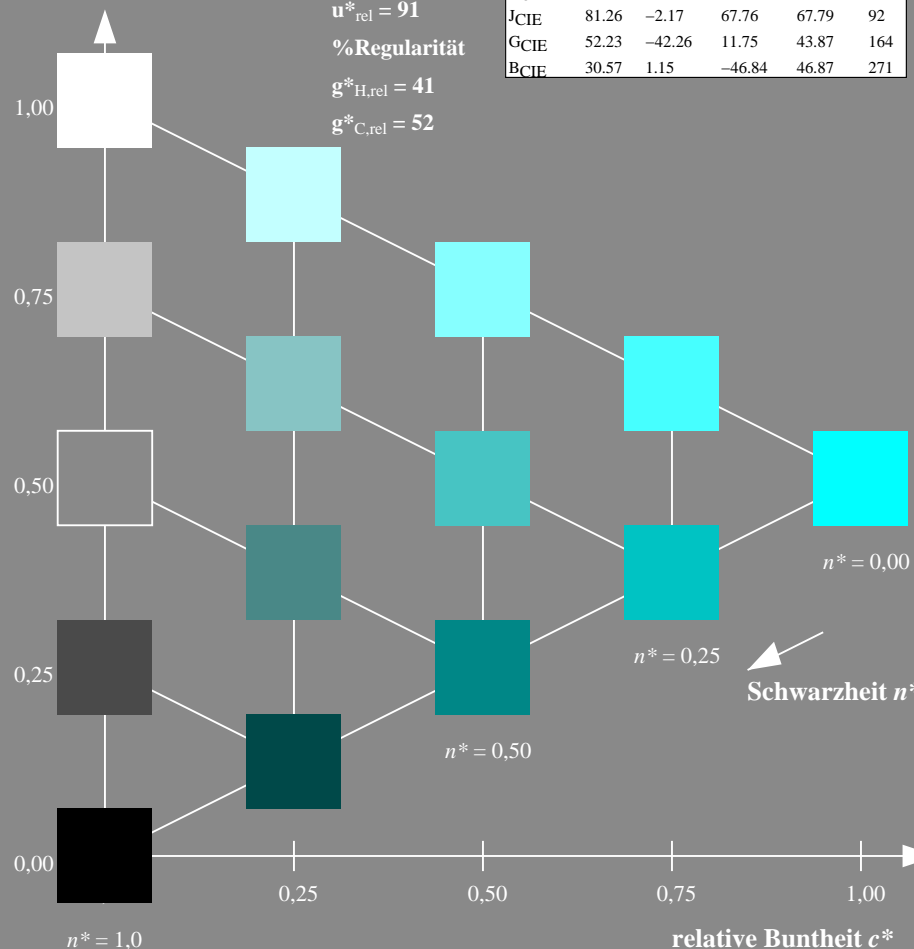
%Umfang

$u^*_{rel} = 91$

%Regularität

$g^*_{H,rel} = 41$

$g^*_{C,rel} = 52$



UG240-7, 5 stufige Reihen für konstanten CIELAB Buntton 218/360 = 0.605 (links)

Ausgabe: Farbmimetrisches Reflexions-System MRS18

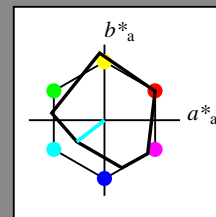
für Buntton $h^* = lab^*h = 218/360 = 0.605$

LAB^*LCH , LAB^*NCH

D65: Buntton G50B

LCH*Ma: 45 46 218

rgb*Ma: 0.0 1.0 1.0



MRS18; adaptierte CIELAB-Daten					
	$L^*=L^*_a$	a^*_a	b^*_a	$C^*_{ab,a}$	$h^*_{ab,a}$
RMa	49.63	66.96	38.37	77.18	30
JMa	90.7	-6.36	88.75	88.98	94
GMa	52.11	-69.73	9.44	70.37	172
G50B _{Ma}	45.03	-36.57	-28.47	46.36	218
B _{Ma}	36.65	23.19	-63.05	67.18	290
B50R _{Ma}	34.94	57.17	-44.26	72.31	322
N _{Ma}	18.01	0.0	0.0	0.0	0
W _{Ma}	95.41	0.0	0.0	0.0	0
RCIE	39.92	58.66	26.98	64.56	25
JCIE	81.26	-2.17	67.76	67.79	92
GCIE	52.23	-42.26	11.75	43.87	164
BCIE	30.57	1.15	-46.84	46.87	271

CIELAB-Helligkeit L^*

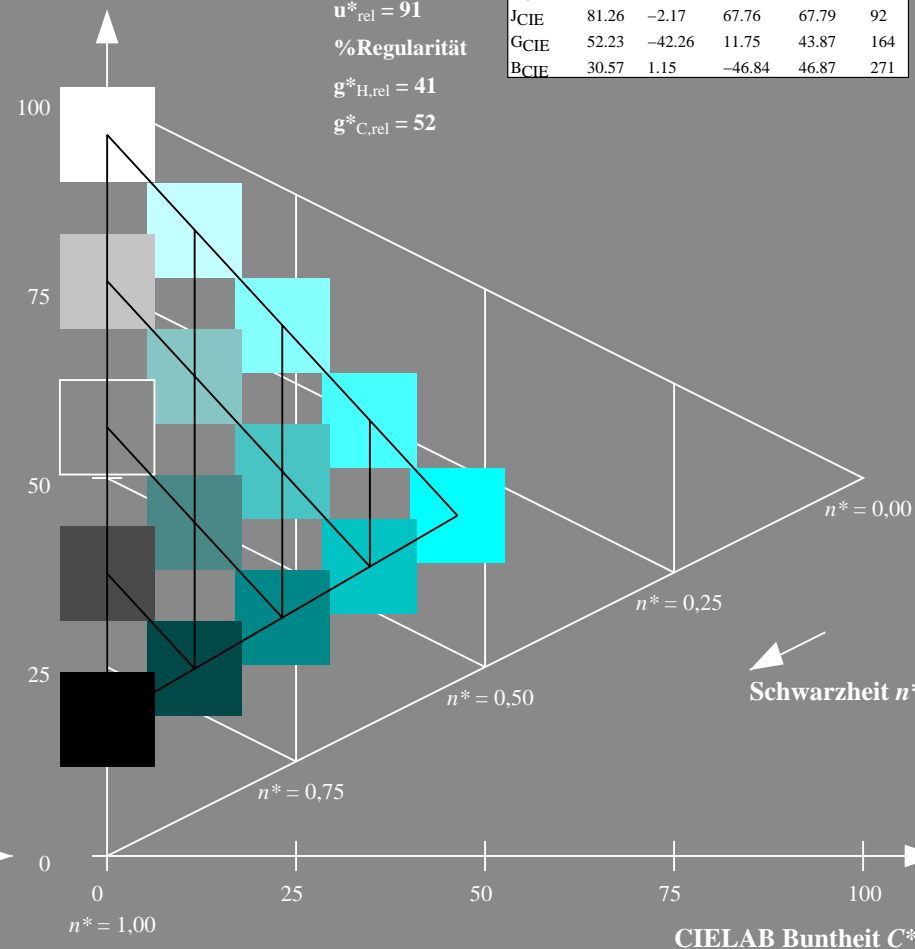
%Umfang

$u^*_{rel} = 91$

%Regularität

$g^*_{H,rel} = 41$

$g^*_{C,rel} = 52$



5 stufige Reihen für konstanten CIELAB Buntton 218/360 = 0.605 (rechts)

BAM-Prüfvorlage UG24; Farbmimetrische-Systeme MRS18 & MRS18

D65: Koordinaten-Systeme von 5stufigen Farbreihen für 10 Bunttonen

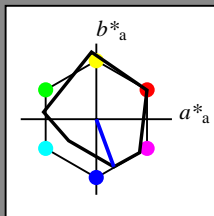
Input: $cmY0^* setcmykcolor$

Output: $olv^* setrgbcolor / w^* setgray$

Eingabe: Farbmétrisches Reflexions-System MRS18

für Buntton $h^* = lab^*h = 290/360 = 0.806$
 lab^*tch und lab^*nch

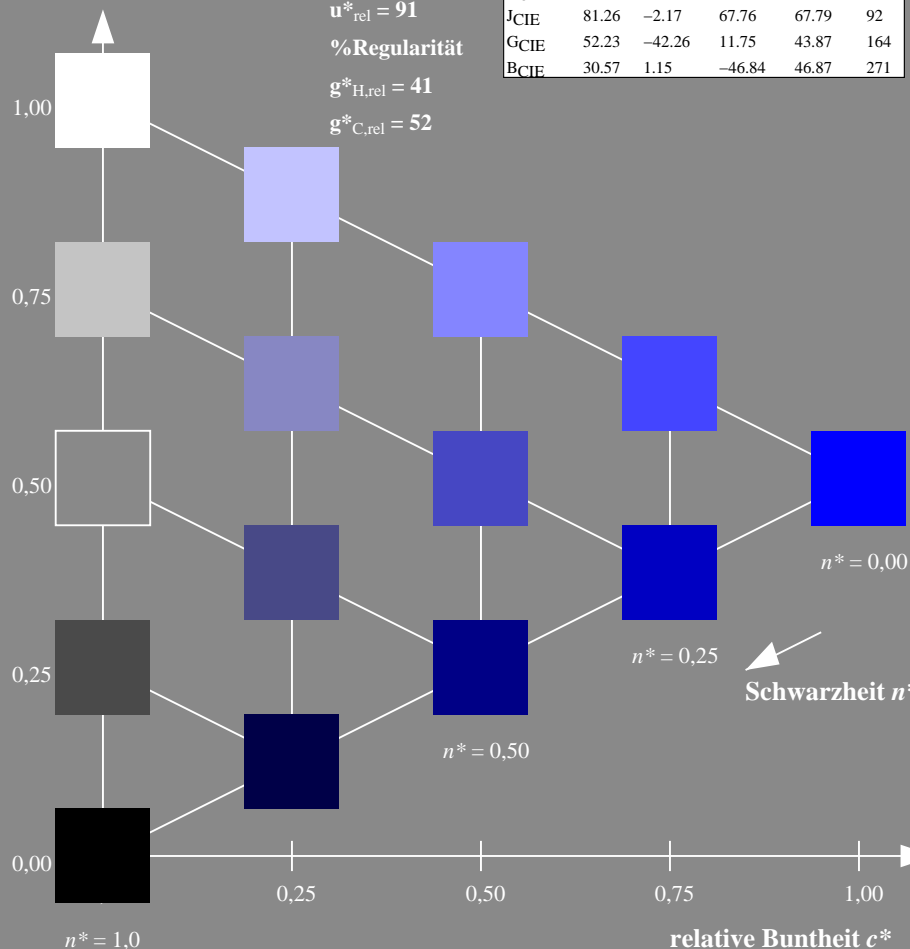
D65: Buntton B
LCH*Ma: 37 67 290
rgb*Ma: 0.0 0.0 1.0



MRS18; adaptierte CIELAB-Daten					
	$L^*=L^*_a$	a^*_a	b^*_a	$C^*_{ab,a}$	$h^*_{ab,a}$
RMa	49.63	66.96	38.37	77.18	30
JMa	90.7	-6.36	88.75	88.98	94
GMa	52.11	-69.73	9.44	70.37	172
G50B _{Ma}	45.03	-36.57	-28.47	46.36	218
B _{Ma}	36.65	23.19	-63.05	67.18	290
B50R _{Ma}	34.94	57.17	-44.26	72.31	322
N _{Ma}	18.01	0.0	0.0	0.0	0
W _{Ma}	95.41	0.0	0.0	0.0	0
RCIE	39.92	58.66	26.98	64.56	25
JCIE	81.26	-2.17	67.76	67.79	92
GCIE	52.23	-42.26	11.75	43.87	164
BCIE	30.57	1.15	-46.84	46.87	271

Dreiecks-Helligkeit t^*

%Umfang
 $u^*_{rel} = 91$
%Regularität
 $g^*_{H,rel} = 41$
 $g^*_{C,rel} = 52$

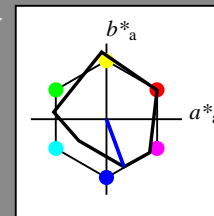


UG240-7, 5 stufige Reihen für konstanten CIELAB Buntton 290/360 = 0.806 (links)

Ausgabe: Farbmétrisches Reflexions-System MRS18

für Buntton $h^* = lab^*h = 290/360 = 0.806$
 LAB^*LCH , LAB^*NCH

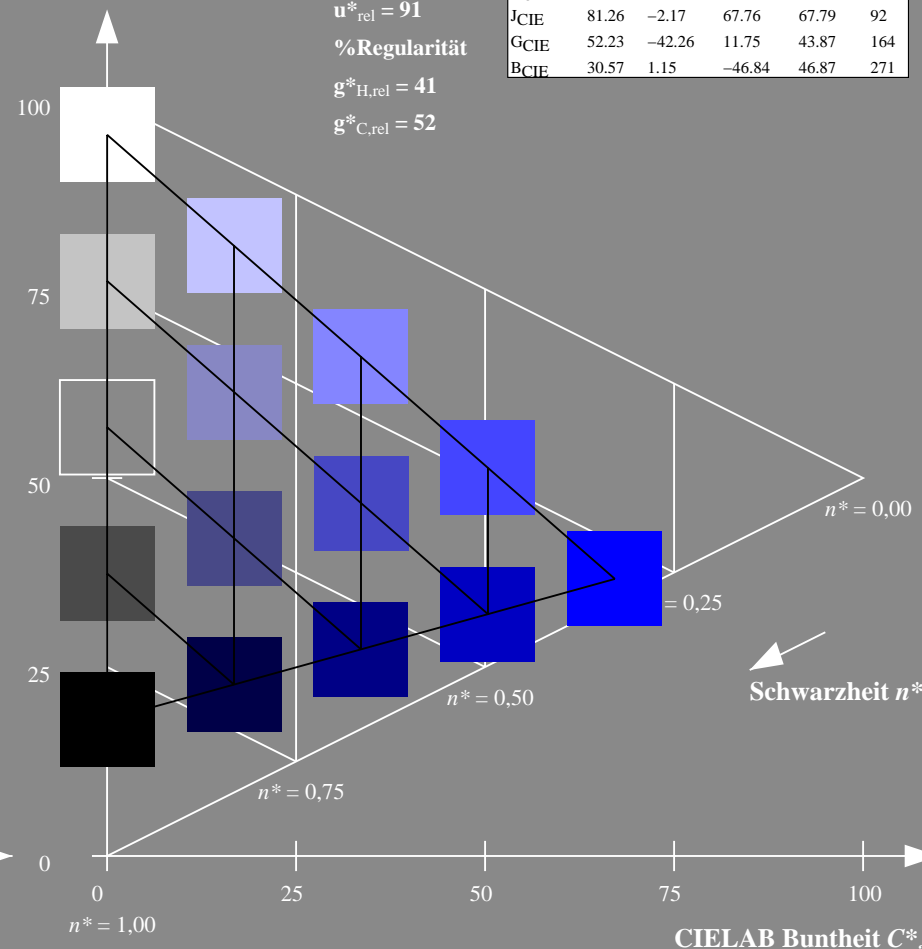
D65: Buntton B
LCH*Ma: 37 67 290
rgb*Ma: 0.0 0.0 1.0



MRS18; adaptierte CIELAB-Daten					
	$L^*=L^*_a$	a^*_a	b^*_a	$C^*_{ab,a}$	$h^*_{ab,a}$
RMa	49.63	66.96	38.37	77.18	30
JMa	90.7	-6.36	88.75	88.98	94
GMa	52.11	-69.73	9.44	70.37	172
G50B _{Ma}	45.03	-36.57	-28.47	46.36	218
B _{Ma}	36.65	23.19	-63.05	67.18	290
B50R _{Ma}	34.94	57.17	-44.26	72.31	322
N _{Ma}	18.01	0.0	0.0	0.0	0
W _{Ma}	95.41	0.0	0.0	0.0	0
RCIE	39.92	58.66	26.98	64.56	25
JCIE	81.26	-2.17	67.76	67.79	92
GCIE	52.23	-42.26	11.75	43.87	164
BCIE	30.57	1.15	-46.84	46.87	271

CIELAB-Helligkeit L^*

%Umfang
 $u^*_{rel} = 91$
%Regularität
 $g^*_{H,rel} = 41$
 $g^*_{C,rel} = 52$



5 stufige Reihen für konstanten CIELAB Buntton 290/360 = 0.806 (rechts)

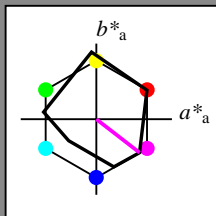
BAM-Prüfvorlage UG24; Farbmétrik-Systeme MRS18 & MRS18

D65: Koordinaten-Systeme von 5stufigen Farbreihen für 10 Bunttonen
input: $cmY0^* setcmykcolor$
input: $olv^* setrgbcolor / w^* setgray$

Eingabe: Farbmétrisches Reflexions-System MRS18

für Buntton $h^* = lab \cdot h = 322/360 = 0.895$
 $lab \cdot tch$ und $lab \cdot nch$

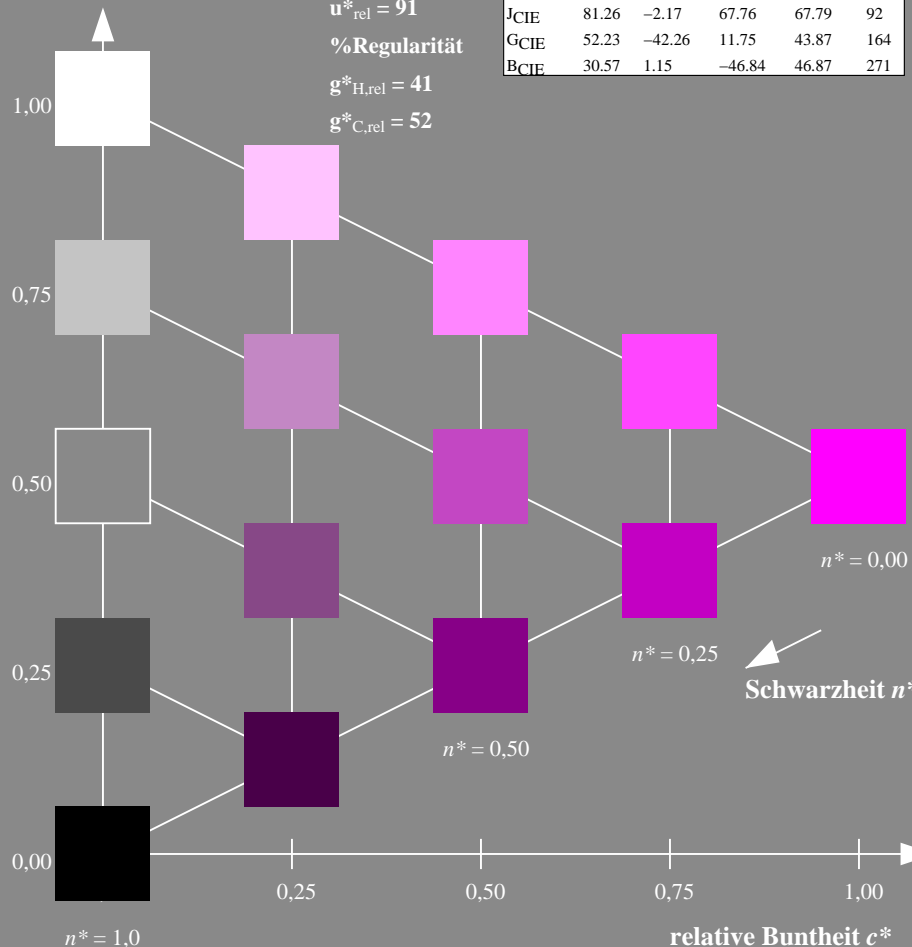
D65: Buntton B50R
LCH*Ma: 35 72 322
rgb*Ma: 1.0 0.0 1.0



MRS18; adaptierte CIELAB-Daten					
	$L^*=L^*_a$	a^*_a	b^*_a	$C^*_{ab,a}$	$h^*_{ab,a}$
RMa	49.63	66.96	38.37	77.18	30
JMa	90.7	-6.36	88.75	88.98	94
GMa	52.11	-69.73	9.44	70.37	172
G50BMa	45.03	-36.57	-28.47	46.36	218
BMa	36.65	23.19	-63.05	67.18	290
B50RMa	34.94	57.17	-44.26	72.31	322
NMa	18.01	0.0	0.0	0.0	0
WMa	95.41	0.0	0.0	0.0	0
RCIE	39.92	58.66	26.98	64.56	25
JCIE	81.26	-2.17	67.76	67.79	92
GCIE	52.23	-42.26	11.75	43.87	164
BCIE	30.57	1.15	-46.84	46.87	271

Dreiecks-Helligkeit t^*

%Umfang
 $u^*_{rel} = 91$
%Regularität
 $g^*_{H,rel} = 41$
 $g^*_{C,rel} = 52$

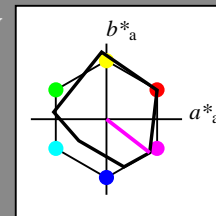


UG240-7, 5 stufige Reihen für konstanten CIELAB Buntton 322/360 = 0.895 (links)

Ausgabe: Farbmétrisches Reflexions-System MRS18

für Buntton $h^* = lab \cdot h = 322/360 = 0.895$
 $LAB \cdot LCH$, $LAB \cdot NCH$

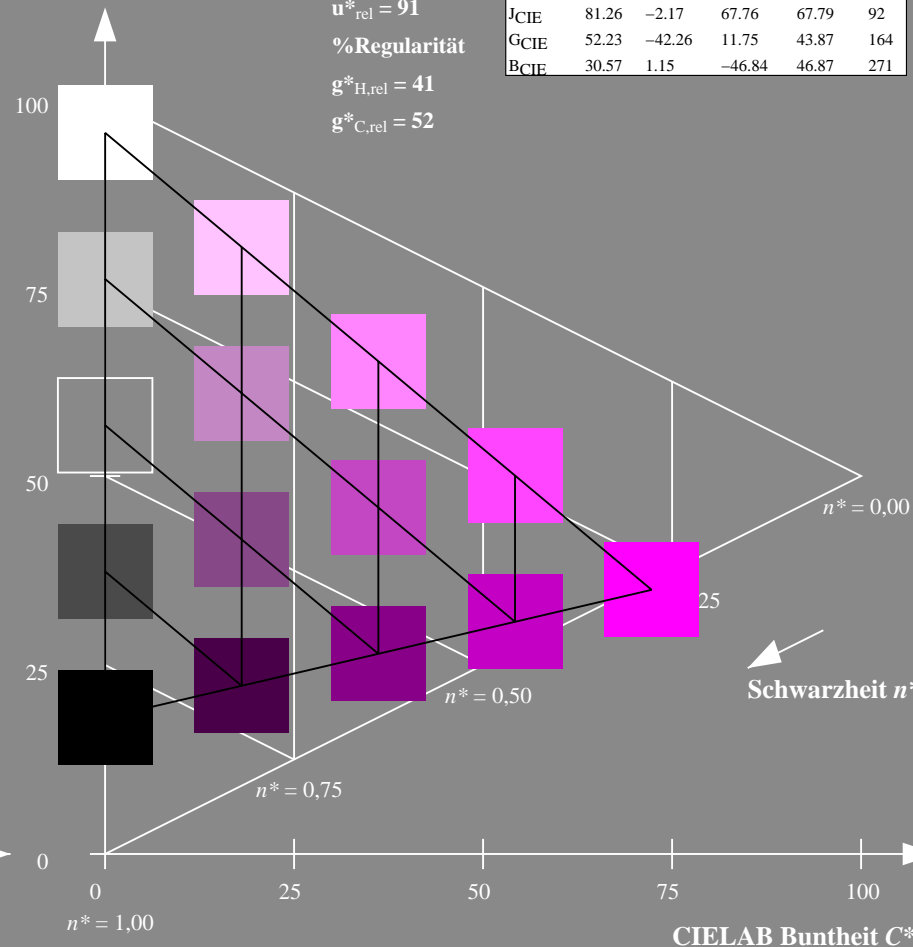
D65: Buntton B50R
LCH*Ma: 35 72 322
rgb*Ma: 1.0 0.0 1.0



MRS18; adaptierte CIELAB-Daten					
	$L^*=L^*_a$	a^*_a	b^*_a	$C^*_{ab,a}$	$h^*_{ab,a}$
RMa	49.63	66.96	38.37	77.18	30
JMa	90.7	-6.36	88.75	88.98	94
GMa	52.11	-69.73	9.44	70.37	172
G50BMa	45.03	-36.57	-28.47	46.36	218
BMa	36.65	23.19	-63.05	67.18	290
B50RMa	34.94	57.17	-44.26	72.31	322
NMa	18.01	0.0	0.0	0.0	0
WMa	95.41	0.0	0.0	0.0	0
RCIE	39.92	58.66	26.98	64.56	25
JCIE	81.26	-2.17	67.76	67.79	92
GCIE	52.23	-42.26	11.75	43.87	164
BCIE	30.57	1.15	-46.84	46.87	271

CIELAB-Helligkeit L^*

%Umfang
 $u^*_{rel} = 91$
%Regularität
 $g^*_{H,rel} = 41$
 $g^*_{C,rel} = 52$



5 stufige Reihen für konstanten CIELAB Buntton 322/360 = 0.895 (rechts)

BAM-Prüfvorlage UG24; Farbmétrik-Systeme MRS18 & MRS18

D65: Koordinaten-Systeme von 5stufigen Farbreihen für 10 Bunttonen
Input: $cmY0^* setcmykcolor$
Output: $olv^* setrgbcolor / w^* setgray$

Eingabe: Farbmétrisches Reflexions-System MRS18

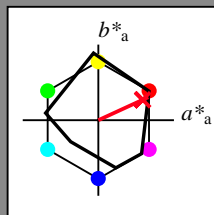
für Buntton $h^* = lab^*h = 25/360 = 0.069$

*lab*tch* und *lab*nch*

D65: Buntton R

LCH*Ma: 48 73 25

rgb*Ma: 1.0 0.0 0.1



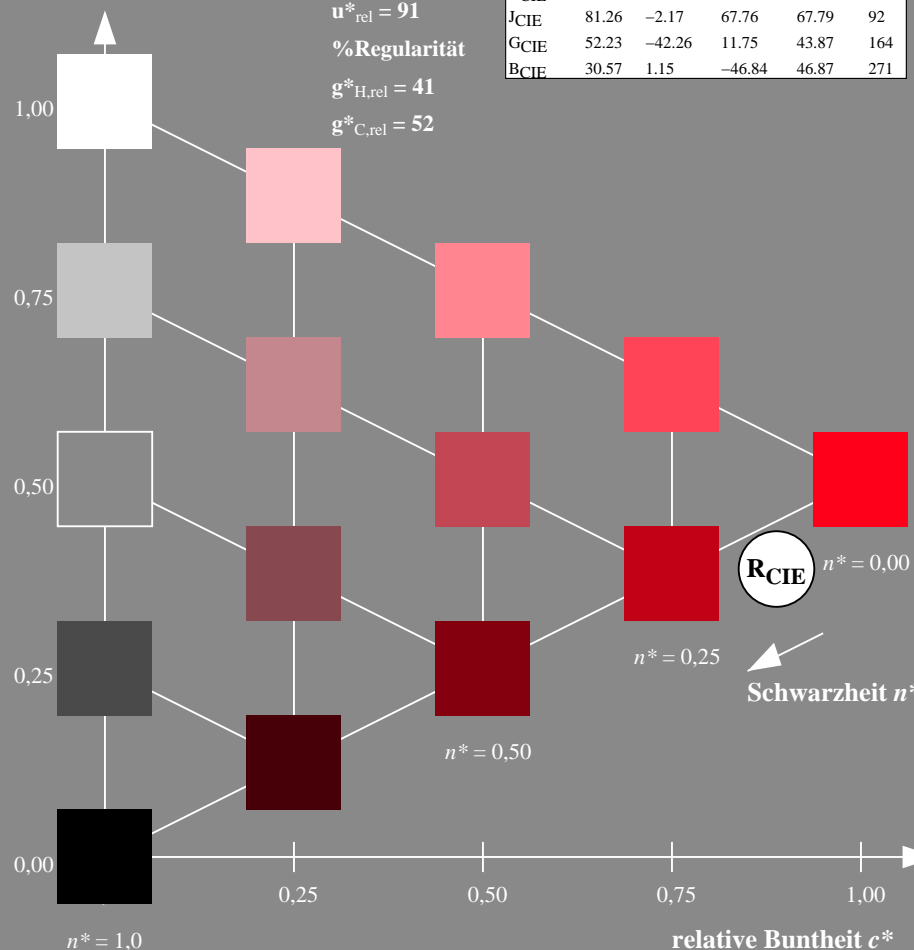
MRS18; adaptierte CIELAB-Daten						
	L^*_{*a}	a^*_{*a}	b^*_{*a}	$C^*_{ab,a}$	$h^*_{ab,a}$	
R _{Ma}	49.63	66.96	38.37	77.18	30	
J _{Ma}	90.7	-6.36	88.75	88.98	94	
G _{Ma}	52.11	-69.73	9.44	70.37	172	
G50B _{Ma}	45.03	-36.57	-28.47	46.36	218	
B _{Ma}	36.65	23.19	-63.05	67.18	290	
B50R _{Ma}	34.94	57.17	-44.26	72.31	322	
N _{Ma}	18.01	0.0	0.0	0.0	0	
W _{Ma}	95.41	0.0	0.0	0.0	0	
R _{CIE}	39.92	58.66	26.98	64.56	25	
J _{CIE}	81.26	-2.17	67.76	67.79	92	
G _{CIE}	52.23	-42.26	11.75	43.87	164	
B _{CIE}	30.57	1.15	-46.84	46.87	271	

Dreiecks-Helligkeit t^*

%Umfang

$$\mathbf{u}_{\text{rel}}^* = \mathbf{91}$$

%Regularität

$$g^*_{H,rel} = 41$$
$$g^*_{C_{rel}} = 52$$


UG240-7, 5 stufige Reihen für konstanten CIELAB Buntton $25/360 = 0.069$ (links)

Ausgabe: Farbmétrisches Reflexions-System MRS18

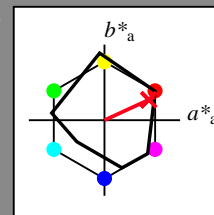
für Buntton $h^* = lab^*h = 25/360 = 0.069$

*LAB*LCH, LAB*NCH*

D65: Buntton R

LCH*Ma: 48 73 25

rgb*Ma: 1.0 0.0 0.1



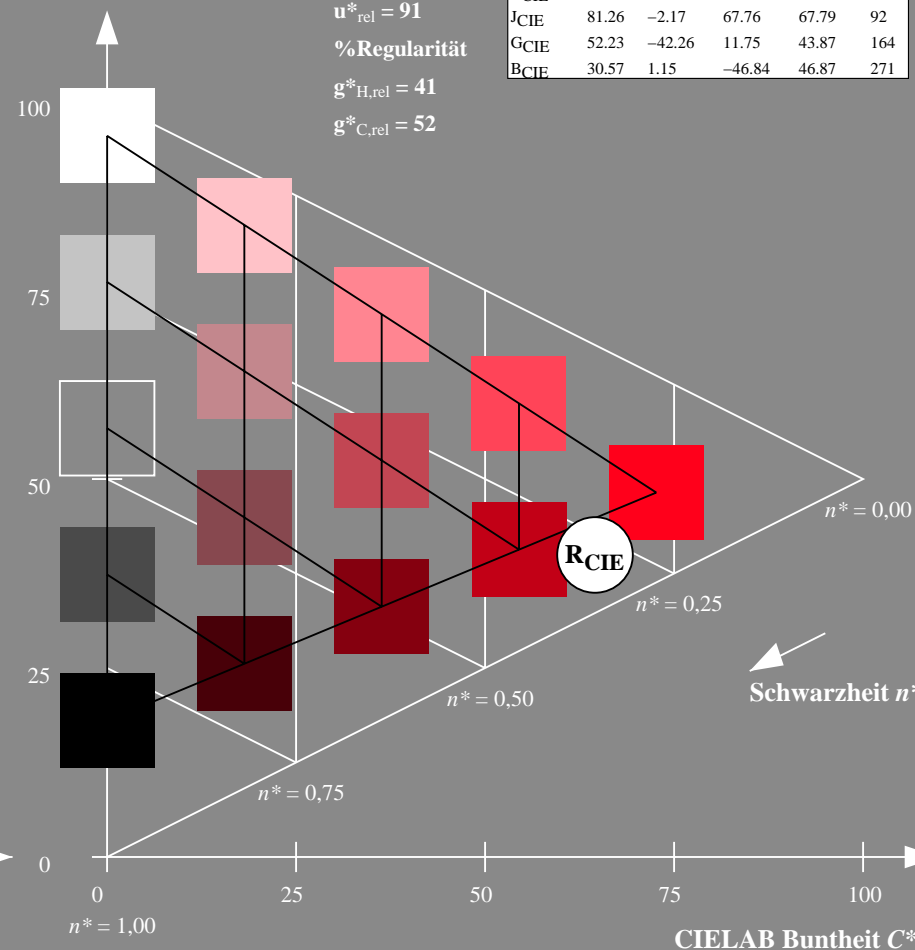
MRS18; adaptierte CIELAB-Daten					
	L^*_{ab}	a^*_{ab}	b^*_{ab}	C^*_{ab}	h^*_{ab}
R _{Ma}	49.63	66.96	38.37	77.18	30
J _{Ma}	90.7	-6.36	88.75	88.98	94
G _{Ma}	52.11	-69.73	9.44	70.37	172
G50B _{Ma}	45.03	-36.57	-28.47	46.36	218
B _{Ma}	36.65	23.19	-63.05	67.18	290
B50R _{Ma}	34.94	57.17	-44.26	72.31	322
N _{Ma}	18.01	0.0	0.0	0.0	0
W _{Ma}	95.41	0.0	0.0	0.0	0
R _{CIE}	39.92	58.66	26.98	64.56	25
J _{CIE}	81.26	-2.17	67.76	67.79	92
G _{CIE}	52.23	-42.26	11.75	43.87	164
B _{CIE}	30.57	1.15	-46.84	46.87	271

CIELAB-Helligkeit L^*

%Umfang

$$\mathbf{u}_{\text{rel}}^* = 91$$

%Regularität

$$g^*_{H,rel} = 41$$
$$g^*_{C_{rel}} = 52$$
5 stufige Reihen für konstanten CIELAB Buntton $25/360 = 0.069$ (rechts)

BAM-Prüfvorlage UG24; Farbmimetrik-Systeme MRS18 & MRS18nput: *cmy0* setcmykcolor*

D65: Koordinaten-Systeme von 5stufigen Farbreihen für 10 Bunttöne out: *olv* setrgbcolor / w* setgray*

Eingabe: Farbmimetrisches Reflexions-System MRS18

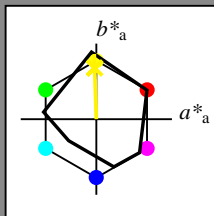
für Buntton $h^* = lab \cdot h = 92/360 = 0.255$

$lab \cdot tch$ und $lab \cdot nch$

D65: Buntton J

LCH*Ma: 89 86 92

rgb*Ma: 1.0 0.95 0.0



MRS18; adaptierte CIELAB-Daten					
	$L^* = L^*_a$	a^*_a	b^*_a	$C^*_{ab,a}$	$h^*_{ab,a}$
RMa	49.63	66.96	38.37	77.18	30
JMa	90.7	-6.36	88.75	88.98	94
GMa	52.11	-69.73	9.44	70.37	172
G50BMa	45.03	-36.57	-28.47	46.36	218
BMa	36.65	23.19	-63.05	67.18	290
B50RMa	34.94	57.17	-44.26	72.31	322
NMa	18.01	0.0	0.0	0.0	0
WMa	95.41	0.0	0.0	0.0	0
RCIE	39.92	58.66	26.98	64.56	25
JCIE	81.26	-2.17	67.76	67.79	92
GCIE	52.23	-42.26	11.75	43.87	164
BCIE	30.57	1.15	-46.84	46.87	271

Dreiecks-Helligkeit t^*

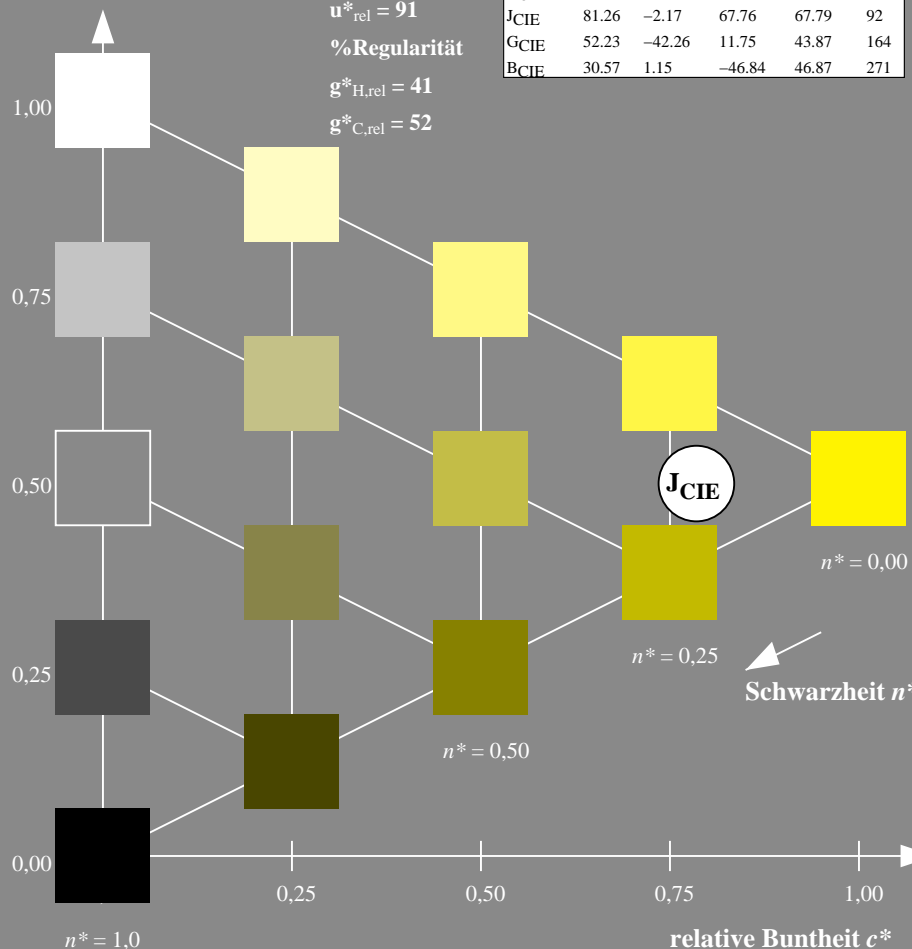
%Umfang

$u^*_{rel} = 91$

%Regularität

$g^*_{H,rel} = 41$

$g^*_{C,rel} = 52$



UG240-7, 5-stufige Reihen für konstanten CIELAB Buntton 92/360 = 0.255 (links)

Ausgabe: Farbmimetrisches Reflexions-System MRS18

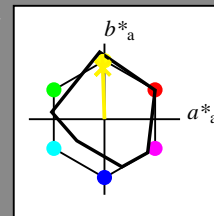
für Buntton $h^* = lab \cdot h = 92/360 = 0.255$

$LAB \cdot LCH$, $LAB \cdot NCH$

D65: Buntton J

LCH*Ma: 89 86 92

rgb*Ma: 1.0 0.95 0.0



MRS18; adaptierte CIELAB-Daten					
	$L^* = L^*_a$	a^*_a	b^*_a	$C^*_{ab,a}$	$h^*_{ab,a}$
RMa	49.63	66.96	38.37	77.18	30
JMa	90.7	-6.36	88.75	88.98	94
GMa	52.11	-69.73	9.44	70.37	172
G50BMa	45.03	-36.57	-28.47	46.36	218
BMa	36.65	23.19	-63.05	67.18	290
B50RMa	34.94	57.17	-44.26	72.31	322
NMa	18.01	0.0	0.0	0.0	0
WMa	95.41	0.0	0.0	0.0	0
RCIE	39.92	58.66	26.98	64.56	25
JCIE	81.26	-2.17	67.76	67.79	92
GCIE	52.23	-42.26	11.75	43.87	164
BCIE	30.57	1.15	-46.84	46.87	271

CIELAB-Helligkeit L^*

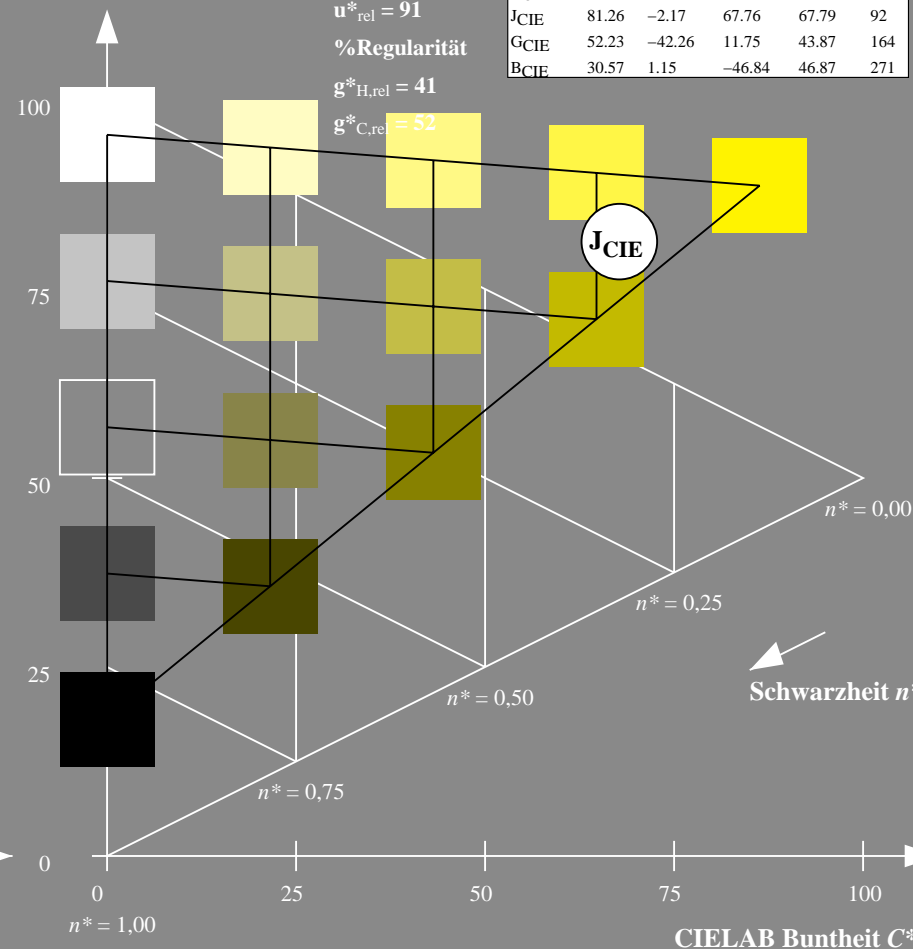
%Umfang

$u^*_{rel} = 91$

%Regularität

$g^*_{H,rel} = 41$

$g^*_{C,rel} = 52$



5-stufige Reihen für konstanten CIELAB Buntton 92/360 = 0.255 (rechts)

BAM-Prüfvorlage UG24; Farbmimetrische-Systeme MRS18 & MRS18

D65: Koordinaten-Systeme von 5stufigen Farbreihen für 10 Bunttoninput: $cmv0^* \cdot setcmkcolor$

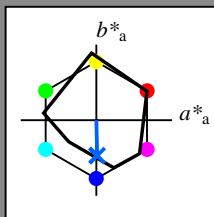
input: $olv^* \cdot setrgbcolor / w^* \cdot setgray$



Eingabe: Farbmétrisches Reflexions-System MRS18

für Buntton $h^* = lab^*h = 271/360 = 0.754$
 lab^*tch und lab^*nch

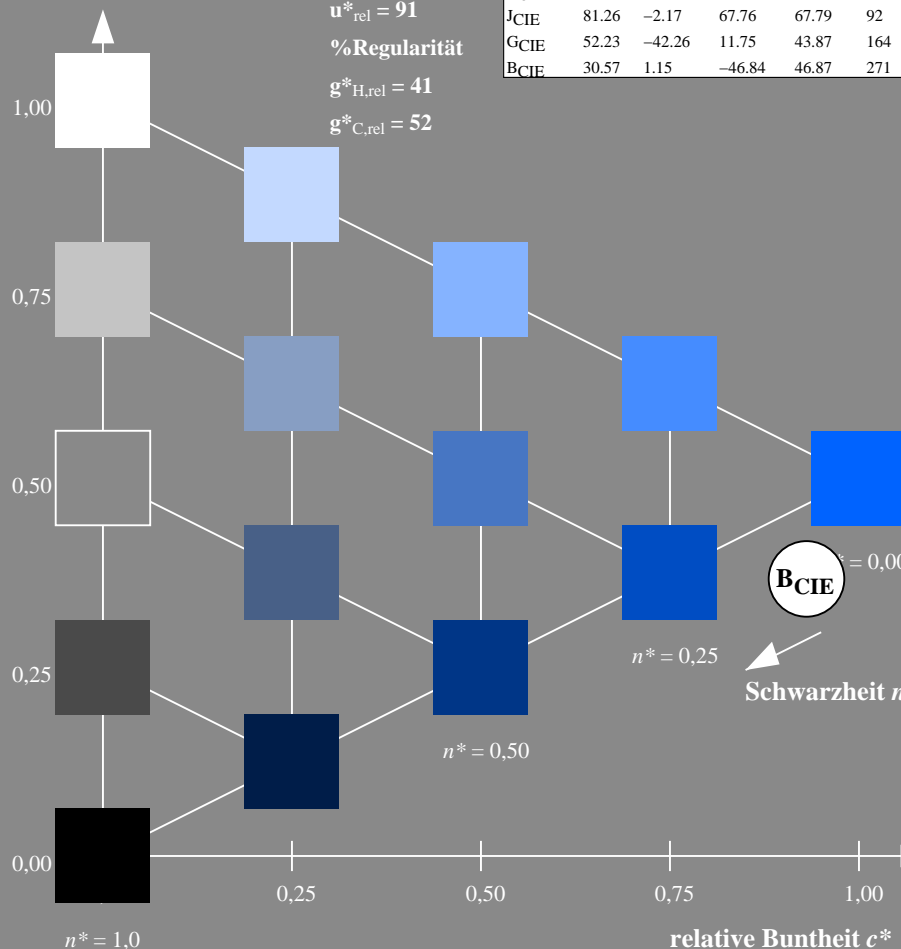
D65: Buntton B
LCH*Ma: 40 50 271
rgb*Ma: 0.0 0.37 1.0



MRS18; adaptierte CIELAB-Daten					
	$L^*=L^*_a$	a^*_a	b^*_a	$C^*_{ab,a}$	$h^*_{ab,a}$
RMa	49.63	66.96	38.37	77.18	30
JMa	90.7	-6.36	88.75	88.98	94
GMa	52.11	-69.73	9.44	70.37	172
G50B _{Ma}	45.03	-36.57	-28.47	46.36	218
B _{Ma}	36.65	23.19	-63.05	67.18	290
B50R _{Ma}	34.94	57.17	-44.26	72.31	322
N _{Ma}	18.01	0.0	0.0	0.0	0
W _{Ma}	95.41	0.0	0.0	0.0	0
RCIE	39.92	58.66	26.98	64.56	25
JCIE	81.26	-2.17	67.76	67.79	92
GCIE	52.23	-42.26	11.75	43.87	164
BCIE	30.57	1.15	-46.84	46.87	271

Dreiecks-Helligkeit t^*

%Umfang
 $u^*_{rel} = 91$
%Regularität
 $g^*_{H,rel} = 41$
 $g^*_{C,rel} = 52$

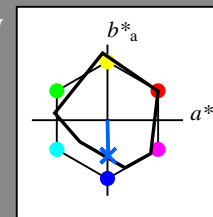


UG240-7, 5 stufige Reihen für konstanten CIELAB Buntton 271/360 = 0.754 (links)

Ausgabe: Farbmétrisches Reflexions-System MRS18

für Buntton $h^* = lab^*h = 271/360 = 0.754$
 LAB^*LCH , LAB^*NCH

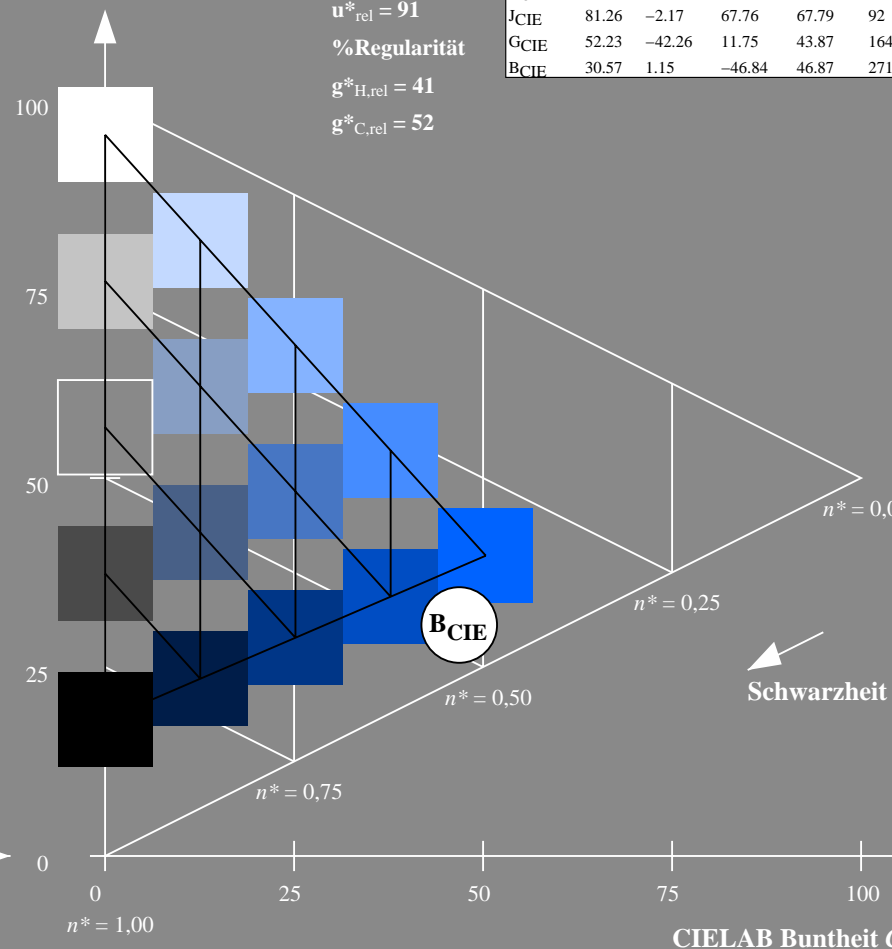
D65: Buntton B
LCH*Ma: 40 50 271
rgb*Ma: 0.0 0.37 1.0



MRS18; adaptierte CIELAB-Daten					
	$L^*=L^*_a$	a^*_a	b^*_a	$C^*_{ab,a}$	$h^*_{ab,a}$
RMa	49.63	66.96	38.37	77.18	30
JMa	90.7	-6.36	88.75	88.98	94
GMa	52.11	-69.73	9.44	70.37	172
G50B _{Ma}	45.03	-36.57	-28.47	46.36	218
B _{Ma}	36.65	23.19	-63.05	67.18	290
B50R _{Ma}	34.94	57.17	-44.26	72.31	322
N _{Ma}	18.01	0.0	0.0	0.0	0
W _{Ma}	95.41	0.0	0.0	0.0	0
RCIE	39.92	58.66	26.98	64.56	25
JCIE	81.26	-2.17	67.76	67.79	92
GCIE	52.23	-42.26	11.75	43.87	164
BCIE	30.57	1.15	-46.84	46.87	271

CIELAB-Helligkeit L^*

%Umfang
 $u^*_{rel} = 91$
%Regularität
 $g^*_{H,rel} = 41$
 $g^*_{C,rel} = 52$



5 stufige Reihen für konstanten CIELAB Buntton 271/360 = 0.754 (rechts)

BAM-Prüfvorlage UG24; Farbmétrik-Systeme MRS18 & MRS18

D65: Koordinaten-Systeme von 5stufigen Farbreihen für 10 Bunttonen
input: cmY^0 setcmykcolor
input: olv setrgbcolor / w setgray